

ВЛИЯНИЕ ВЫСОКОТЕМПЕРАТУРНОГО ОТЖИГА НА ЭЛЕКТРИЧЕСКИЕ И ФОТОЭЛЕКТРИЧЕСКИЕ СВОЙСТВА ПЛЕНОК $a\text{-Si:H}$, ЛЕГИРОВАННЫХ ФОСФОРОМ

© И.А.Курова, Н.В.Мелешко, Э.В.Ларина,
О.П.Хлебникова, А.Л.Громадин

Московский государственный университет им.М.В.Ломоносова,
119899 Москва, Россия

(Получена 25 ноября 1994 г. Принята к печати 23 января 1995 г.)

Исследовано влияние высокотемпературного отжига на проводимость σ_d и фотопроводимость σ_{ph} пленок аморфного кремния $a\text{-Si:H}$, легированных фосфором. Показано, что не наблюдается повышения σ_d и σ_{ph} пленок после отжига их при температурах $T_a < 450^\circ\text{C}$, как это наблюдалось в пленках, легированных бором, вследствие увеличения концентрации электрически активных атомов примеси В. Приводится возможное объяснение различного влияния отжига на пленки, легированные донорной и акцепторной примесью.

Известно [1], что введение водорода в легированные кристаллические кремний, германий, арсенид галлия вызывает «пассивацию» электрически активных атомов — переход их в электрически неактивное состояние. Высокотемпературный отжиг с эфузией водорода приводит к «активации» электрически неактивных атомов примесей — переходу их в электрически активное состояние. Установлено, что эти процессы ярко выражены в случае мелких акцепторных примесей (B, Ga, Al): в кристаллическом кремнии $c\text{-Si}$ до 99% активных атомов примесей может быть пассивировано водородом [2]; для мелких донорных примесей в $c\text{-Si}$ эффект пассивации очень слабый [3]. Предложен ряд механизмов, объясняющих эти эффекты и их различие для акцепторных и донорных примесей [4,5]. Очевидно, что эффекты активации и пассивации примесей водородом могут иметь место и в аморфном гидрированном кремнии $a\text{-Si:H}$.

В предыдущей работе мы исследовали влияние высокотемпературного отжига на концентрацию электрически активных атомов бора в пленках $a\text{-Si:H}$ [6]. В настоящей работе мы приводим данные исследований влияния высокотемпературного отжига на электрические и фотоэлектрические свойства пленок $a\text{-Si:H}$ n -типа проводимости с фосфором. Пленки были выращены методом осаждения в плазме высокочастотного тельящего разряда при температуре подложки

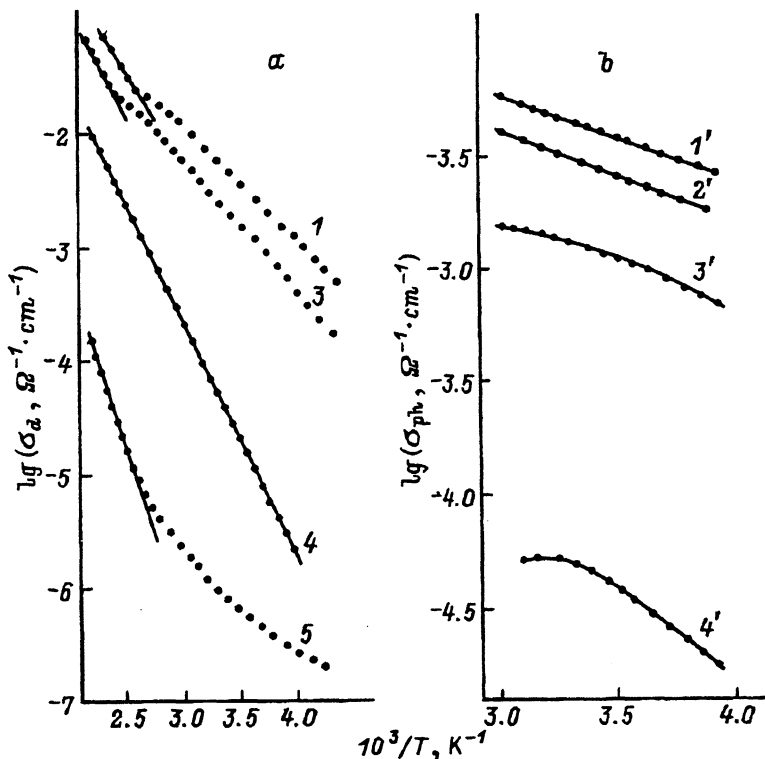


Рис. 1. Температурные зависимости темновой проводимости (а) и фотопроводимости (б) пленок $a\text{-Si:H}$, легированных фосфором концентрации $N_p \approx 2 \cdot 10^{18} \text{ см}^{-3}$, контрольного образца (1, 1') и отожженных при температурах T_a , °С: 2' — 325; 3, 3' — 400; 4, 4' — 480; 5 — 560.

$T_s \approx 290^\circ\text{C}$. Определенная по методу SIMS концентрация атомов фосфора в пленках составляла $N_p \approx 2 \cdot 10^{18} \text{ см}^{-3}$, толщина пленок — $d = 0.1$ и 0.3 мкм. Высокотемпературный отжиг образцов при температурах $T_a = 310 \div 560^\circ\text{C}$ ($T_a > T_s$) проводился в вакууме при остаточном давлении $\sim 10^{-6} \div 10^{-7}$ мм рт.ст. в течение 3 \div 5 мин.

На рис. 1 показаны температурные зависимости темновой проводимости σ_d (а) и фотопроводимости σ_{ph} (б) пленок $a\text{-Si:H}\langle P \rangle$ ($d = 0.1$ мкм), контрольной (кривые 1, 1') и отожженных при разных температурах (кривые 3—5 и 2'—4'). Измерения проводились после отжига пленок в криостате при температуре 170°C в течение 30 мин и при охлаждении и нагревании его со скоростью ~ 5 К/мин. На кривых 1 и 3 в области температур ниже 400 К наблюдается «замороженная» темновая проводимость, величина которой зависит от скорости охлаждения и нагревания пленки [7]. Поэтому для характеристики пленок в таблице приведены значения энергии активации E_σ и предэкспоненциального множителя σ_0 для равновесной темновой проводимости при $T_a > 400^\circ\text{C}$. Из рис. 1 и таблицы видно, что после отжига при $T_a < 450^\circ\text{C}$ σ_d и σ_{ph} уменьшаются, при $T_a = 480^\circ\text{C}$ уменьшение σ_d и σ_{ph} значительно, кроме того мы не наблюдаем замороженной проводимости. Последнее может быть связано с уменьшением времени релаксации в системе.

Параметры температурной зависимости темновой проводимости (см. рис. 1)

Кривая	$T_a, ^\circ\text{C}$	$E_\sigma, \text{эВ}$	$\sigma_0, 10^2 \text{ Ом}^{-1} \cdot \text{см}^{-1}$
1	—	0.31	2.8
2	325	0.32	3.0
3	400	0.35	4.0
4	480	0.41	4.0
5	560	0.63	16

Примечание. Кривая 2 на рис. 1 не показана.

ме дефект-примесь вследствие увеличения концентрации оборванных связей после их отжига [7]. Не исключено также влияние смещения уровня Ферми после отжига в область минимума плотности состояний ($E_c - E_F = E_\sigma = 0.41 \text{ эВ}$) [8]. В пленке, отожженной при $T_a = 560^\circ\text{C}$, в области температур ниже 300 К наблюдается отклонение от простой активационной зависимости, обусловленное наличием в ней заметной прыжковой проводимости. На рис. 2 показано, что прыжковая проводимость σ_h , равная разности между измеряемой темновой (σ_d) и активационной зонной проводимостью, экстраполированной в область смешанной проводимости (зонной и прыжковой) при низких температурах, (σ_{de}) можно описать законом Мотта

$$\sigma_h = \sigma_d - \sigma_{de} \sim \exp(-T_0/T)^{1/4}.$$

Определенная по наклону прямой величина $T_0 = 17.6\gamma^3/k\rho(E)$, где $\gamma^{-1} = 5 \cdot 10^{-8} \text{ см}^{-1}$ — радиус локализации электрона на состоянии вблизи E_F [9], дает значение плотности состояний вблизи уровня Ферми ($E_c - E_F = 0.6 \text{ эВ}$), равное $\rho \approx 10^{19} \text{ см}^{-3} \cdot \text{эВ}$. Такая величина $\rho(E)$ близка к своему значению в негидрированном аморфном кремнии [10] и указывает на практически полную дегидрогенизацию пленки в процессе отжига при $T_a = 560^\circ\text{C}$. На пленках толщиной 0.3 мкм получены аналогичные результаты.

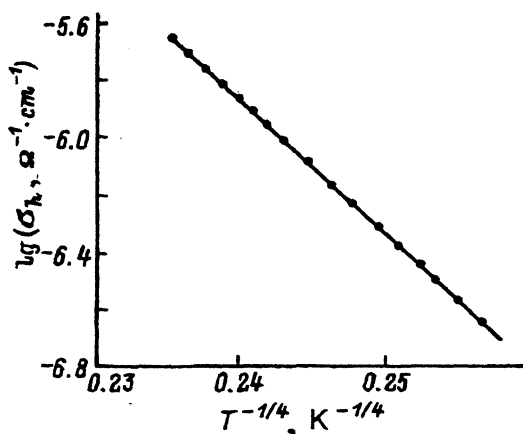


Рис. 2. Прыжковая темновая проводимость $\sigma_h = \sigma_d - \sigma_{de}$ при $T < 300 \text{ K}$ в зависимости от $(1/T)^{1/4}$.

Таким образом, в пленках, легированных фосфором, не наблюдалось повышения проводимости и фотопроводимости после отжига при $T_a < 450^\circ\text{C}$, как это наблюдалось нами в пленках, легированных бором [6]. Это наглядно видно из рис. 3, где показаны значения темновой проводимости σ_d в области равновесной проводимости (при $T = 400^\circ\text{C}$) и ее энергия активации E_σ в зависимости от температуры отжига для пленок с бором и фосфором. Видно, что при $T_a < 450^\circ\text{C}$ поведение σ_d и E_σ для пленок *n*- и *p*-типа проводимости различно, при $T_a > 450^\circ\text{C}$ изменения σ_d и E_σ подобны.

Оба типа пленок выращены при достаточно высокой температуре подложки, что обуславливает преимущественное образование Si-H-связей. Термическая диссоциация последних наблюдается при $T_a > 450^\circ\text{C}$ [11], что обуславливает значительное увеличение концентрации оборванных связей в пленках *n*- и *p*-типа проводимости после отжига при $T_a > 450^\circ\text{C}$ и, как следствие, уменьшение σ_d , σ_{ph} , смещение E_F в глубь зоны. Отжиг при $T_a < 450^\circ\text{C}$ приводит к слабому увеличению концентрации оборванных связей, влияние которого на параметры пленок, легированных бором, не проявляется на фоне увеличения σ_d и σ_{ph} вследствие увеличения концентрации атомов электрически активного бора. В пленках *n*-типа проводимости с фосфором этот эффект (увеличение концентрации электрически активной примеси при отжиге) подобно тому, как и в *c-Si*, мал по величине. Это обусловлено различным механизмом пассивации водородом донорных примесей и разной концентрацией пассивированных донорных и акцепторных примесей. В работе [12] предложены модели пассивации атомов бора и фосфора. Водород пассивирует атом бора, внедряясь между четырехкратно координированными атомами В и Si, образуя Si-H-связь и взаимодействуя со ставшим трехкратно координированным электрически неактивным атомом бора. Мы предполагаем, что так как энергия термической диссоциации такой Si-H-связи меньше, чем одиночной, то

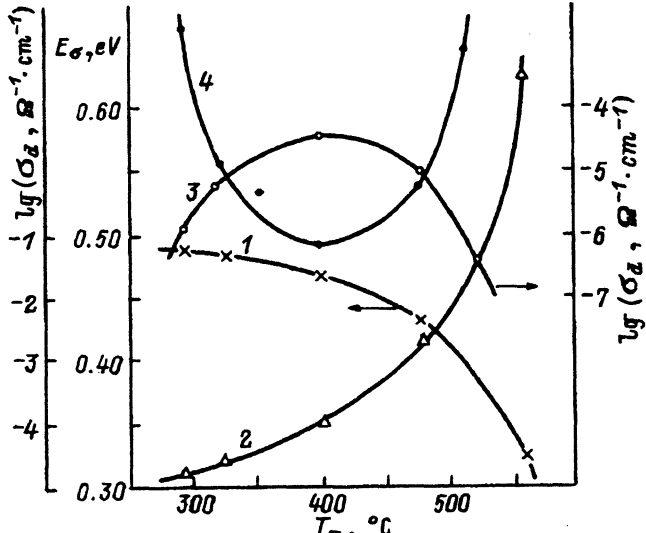


Рис. 3. Зависимости равновесной темновой проводимости σ_d при 400 K и ее энергии активации E_σ для пленок, легированных фосфором (1,2) и бором (3,4), в зависимости от температуры отжига T_a .

она диссоциирует при $T_a < 450^\circ\text{C}$. При этом происходит структурная перестройка трехвалентного атома бора в электрически активный четырехвалентный атом. В пленках $a\text{-Si:H}$, легированных фосфором, нет такой структуры со слабо связанным водородом. Пассивирующий атом водорода образует связь в антисвязывающем состоянии с ближайшим атомом кремния [12], а перестройка трехкратно координированного атома фосфора в электрически активное состояние требует большей энергии [13]. Кроме того, концентрация возникающих при росте пленки электрически неактивных атомов фосфора, по-видимому, как и при гидрировании $c\text{-Si}$, меньше. Вследствие этого мы не наблюдаем после высокотемпературного отжига эффекта увеличения темновой проводимости и фотопроводимости пленок, легированных фосфором.

Однако для более ясного понимания исследуемых эффектов влияния отжига на состояния примесей в пленках $a\text{-Si:H}$ требуются дополнительные исследования, в частности, структуры водородных связей.

Список литературы

- [1] S.J. Pearton, J.W. Corbett, J.S. Shi. *J. Appl. Phys. A*, **43**, 153 (1987).
- [2] M.L. Thewalt, E.C. Lightowter, Y.I. Pankove. *Appl. Phys. Lett.*, **46**, 686 (1985).
- [3] N.M. Johnson, C. Herring, D.J. Chadi. *Phys. Rev. Lett.*, **56**, 769 (1986).
- [4] P.J.H. Dentenur, C.G. Van de Walle, S.T. Pantelides. *Phys. Rev. B*, **39**, 10809 (1989).
- [5] K.S. Chang, D.S. Chadi. *Phys. Rev. A*, **40**, 11644 (1989).
- [6] И.А. Куро娃, А.Н. Лупачева, Н.В. Мелешко, Э.В. Ларина. *ФТП*, **28**, 1092 (1994).
- [7] R.A. Street, J. Kakalios, C.C. Tsai, T.M. Hayes. *Phys. Rev. B*, **35**, 1316 (1987).
- [8] B.G. Yoon, C. Lee, J. Jang. *J. Appl. Phys.*, **60**, 673 (1986).
- [9] И.П. Звягин. *Кинетические явления в неупорядоченных полупроводниках* (М., Изд-во МГУ, 1984) с. 86.
- [10] *Аморфные полупроводники*, под ред. М.Бродски (М., Мир, 1982) с. 60.
- [11] W. Beyer, H. Wagner. *J. de Physique, Coll. C4*, **42**, 783 (1981).
- [12] W.B. Jackson. *Phys. Rev. B*, **41**, 12323 (1990).
- [13] C.E. Nebel, R.A. Street, W.B. Jackson, N.M. Johnson. *J. Non-Cryst. Sol.*, **164–166**, 203 (1993).

Редактор Л.В. Шаронова

The influence of a high-temperature annealing of phosphorus-doped $a\text{-Si:H}$ films on their electrical and photoelectrical properties

I.A.Kurova, N.V.Meleshko, E.V.Larina, O.P.Khlebnikova, A.L.Gromadin

M.V.Lomonosov Moscow State University, 119899 Moscow, Russia

We have studied the dark conductivity (σ_d) and photoconductivity (σ_{ph}) of phosphorus-doped $a\text{-Si:H}$ films annealed at a high temperature. We haven't found any increase in σ_d or σ_{ph} after annealing films at $T_a < 450^\circ\text{C}$ as it was observed in boron-doped films. An attempt is made to explain the influence of a high-temperature treatment of acceptor- and donor-doped films.